

هسته آنالیز تصاویر چشم

مرکز پردازش تصویر و سیگنال پزشکی

رجیستر کردن تصاویر به کمک سیستم فازی TSK بهبود یافته

پاییز ۱۴۰۱

منیره شیخ حسینی

مقدمه

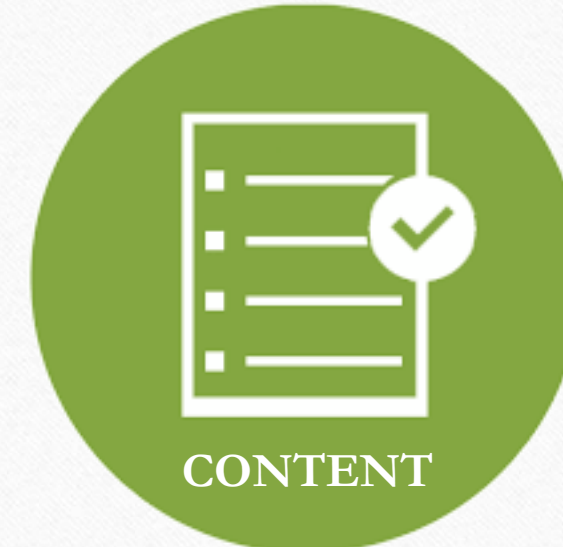
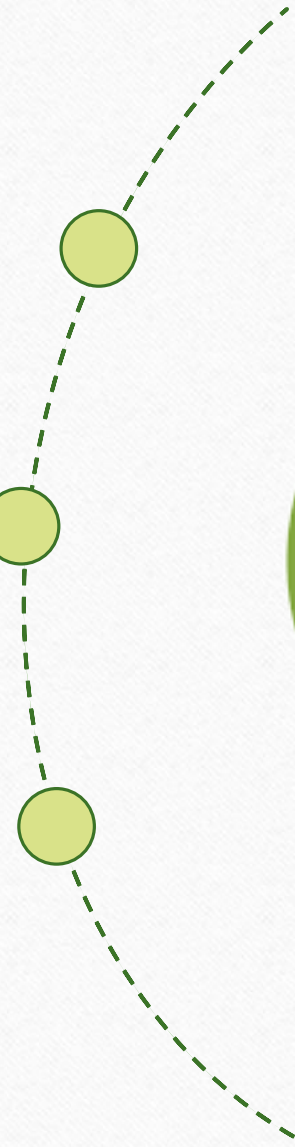
۱

مروری بر سیستم فازی

۲

معرفی روش‌های پیشنهادی

۳





رديابي حرکت بطن چپ در تصاویر اکوکاردیوگرافی سه بعدی

BM- RFBM: تطبیق بلوکی

S_Demons- AAOF: شار نوری

AFFD: انطباق تصویر

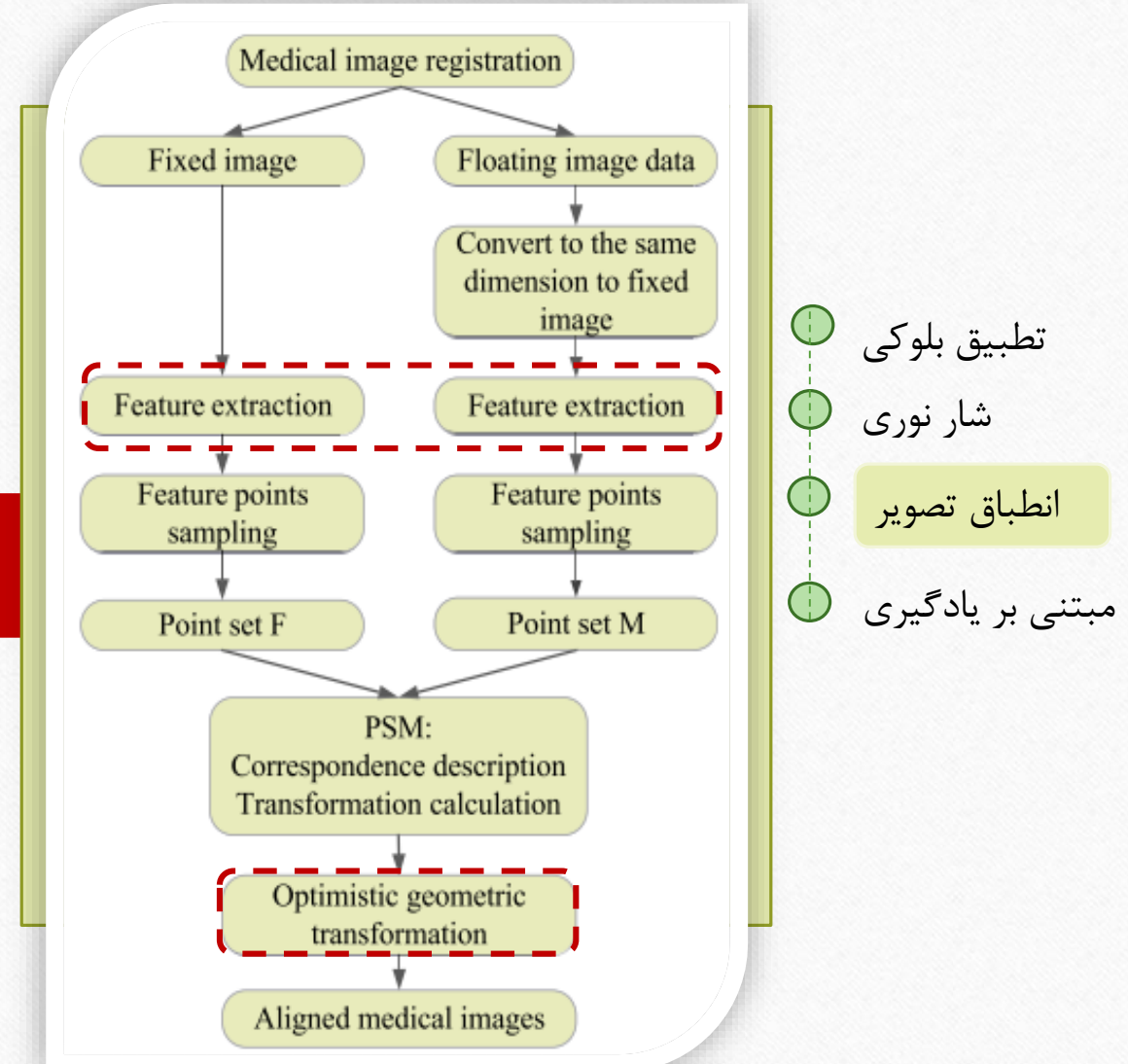
روش های مبتنی بر یادگیری: Deep learning



پایگاه داده مصنوعی



پایگاه داده واقعی

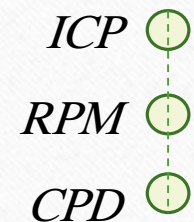


استخراج ویژگی در انطباق تصویر



تطبیق بلوکی
شار نوری
انطباق تصویر
مبتنی بر یادگیری

محاسبه تبدیل هندسی میان نقاط ویژگی



۱

Medical image registration

Fixed image

Floating image data

Convert to the same dimension to fixed image

۲

Feature extraction

Feature points sampling

Point set F

Feature extraction

Feature points sampling

Point set M

۳

PSM:
Correspondence description
Transformation calculation

Optimistic geometric transformation

Aligned medical images

تصویر اول

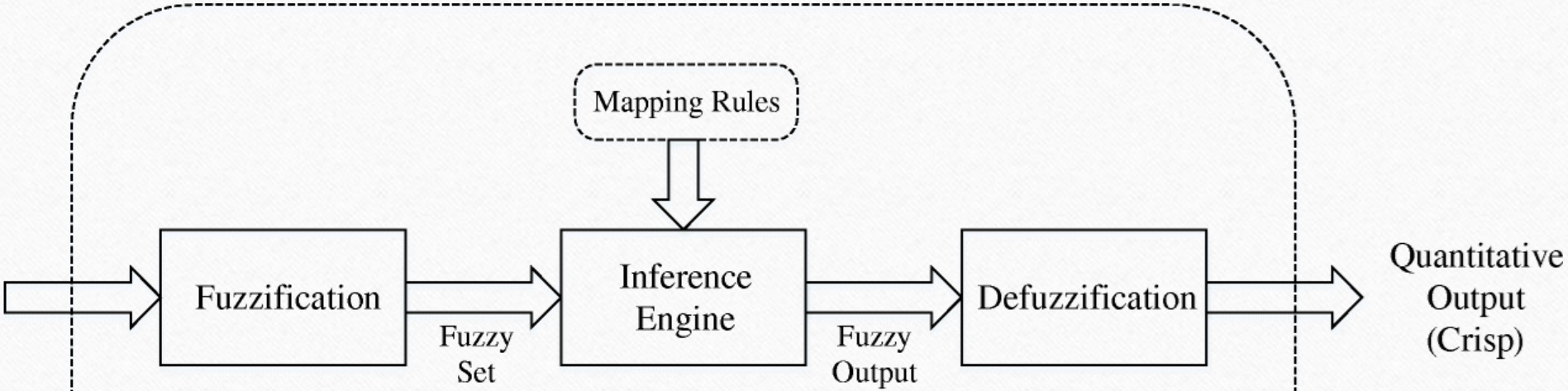
استخراج ویژگی

تناظر ویژگی‌ها

تصویر دوم

استخراج ویژگی

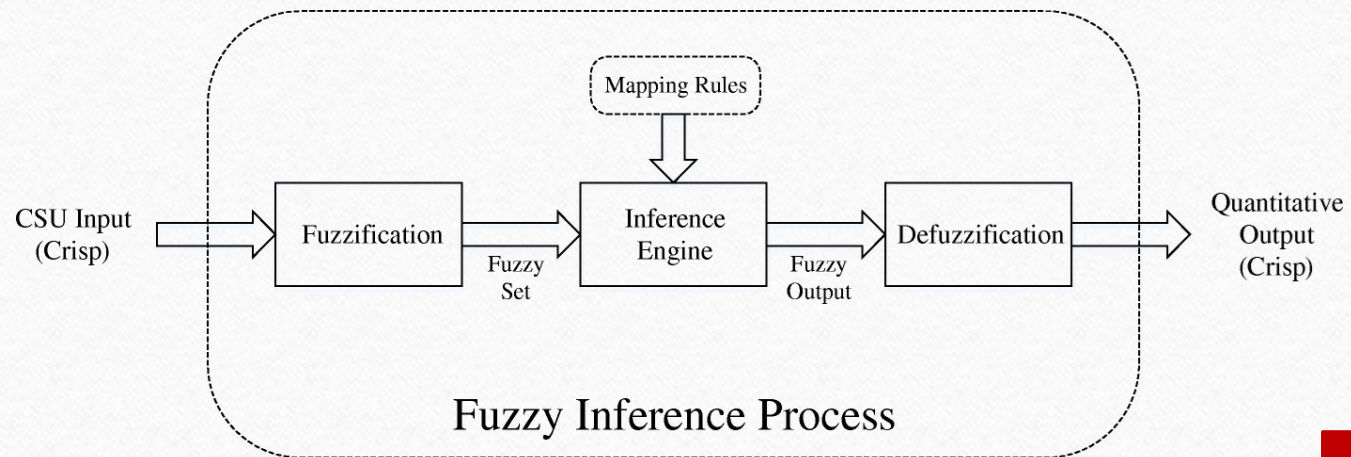
مدل هندسی میان
ویژگی‌های متناظرتعمیم مدل به
کل نقاط تصویر

7/22
CSU Input
(Crisp)

Fuzzy Inference Process

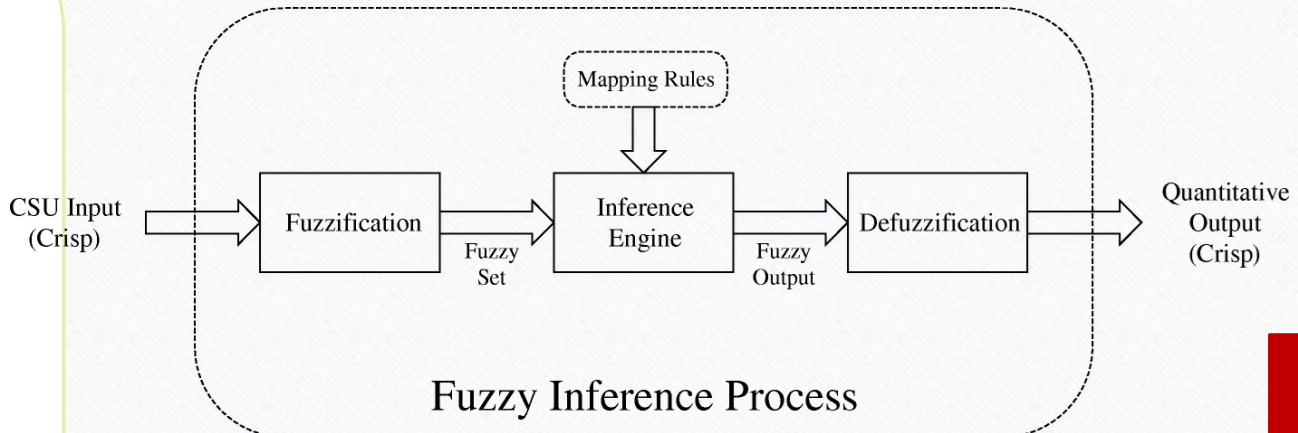
Fuzzification is the process of converting a crisp input value to a fuzzy value that is performed by the use of the information in the knowledge base.

various types of curves can be seen in literature, **Gaussian**, **triangular**, and **trapezoidal** MFs are the most commonly used in the fuzzification process.



Defuzzification is the process of obtaining a single number from the output of the aggregated fuzzy set. It is used to transfer fuzzy inference results into a crisp output.

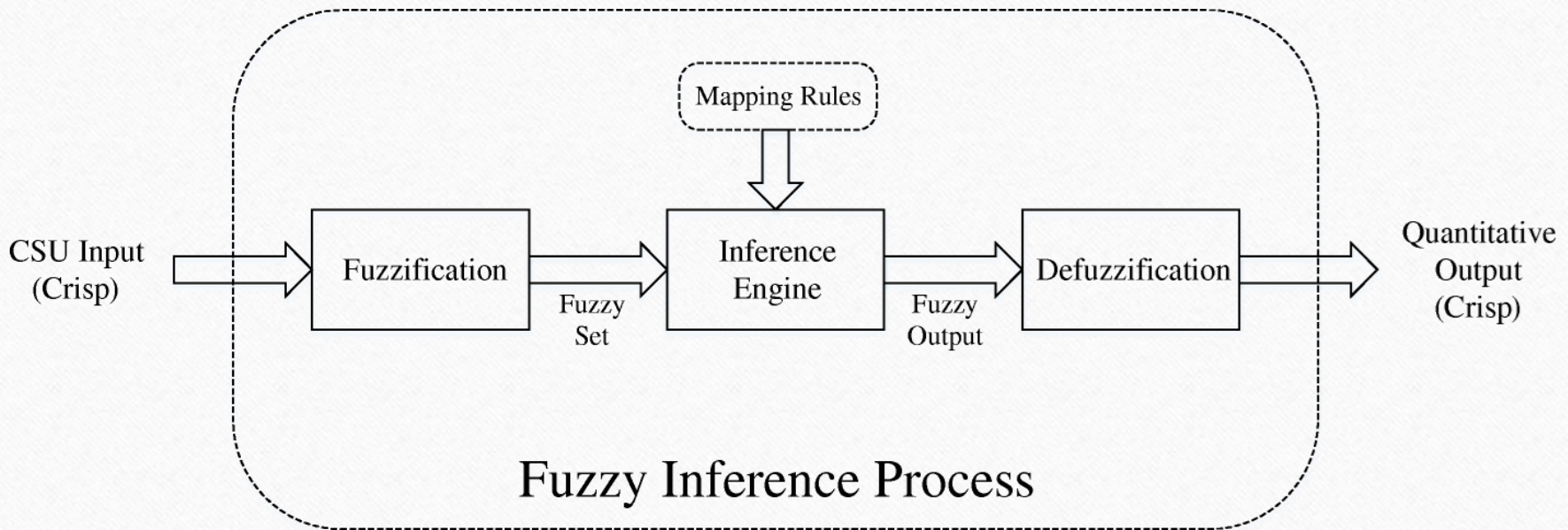
There are several forms of defuzzification including center of gravity (COG), mean of maximum (MOM), and center average methods..



The **inference engine** is responsible for applying the inference rules to the fuzzy input in order to generate the fuzzy output.

If Then....

10/22



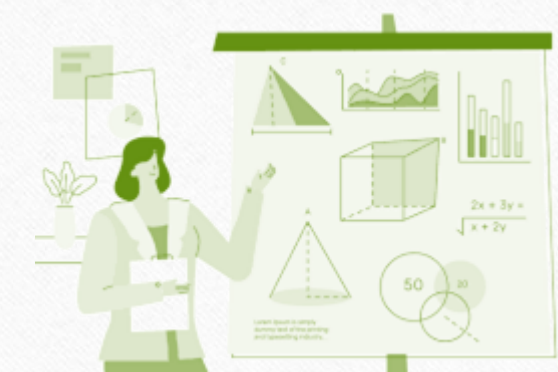
تصویر اول

استخراج ویژگی

تناظر ویژگی‌ها

تصویر دوم

استخراج ویژگی

مدل هندسی میان
ویژگی‌های متناظرتعمیم مدل به
کل نقاط تصویر



تبدیل ویژگی مستقل از مقیاس (SIFT)

تعیین موقعیت مکانی نقاط کلیدی

$$\ell(x, \sigma) = I(x) * \Delta g_\sigma(x)$$

$$d(x, \sigma) = I(x) * (g_{\sigma+\delta}(x) - g_\sigma(x))$$

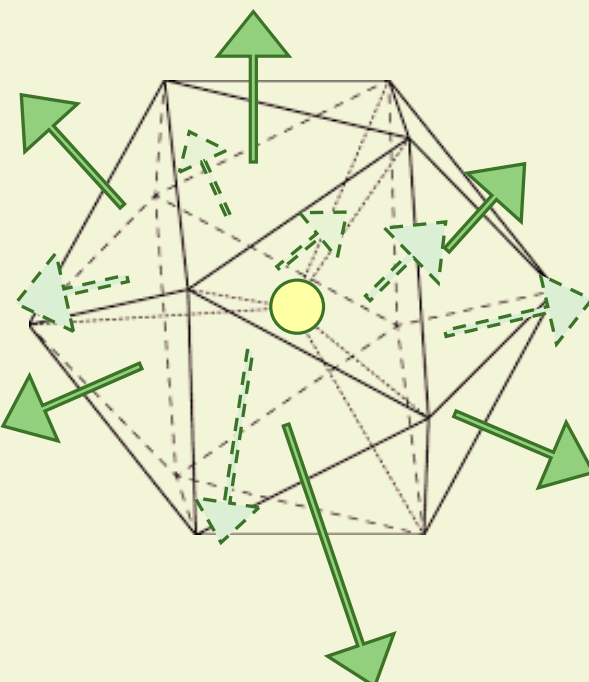
↓
extrema

Key Points

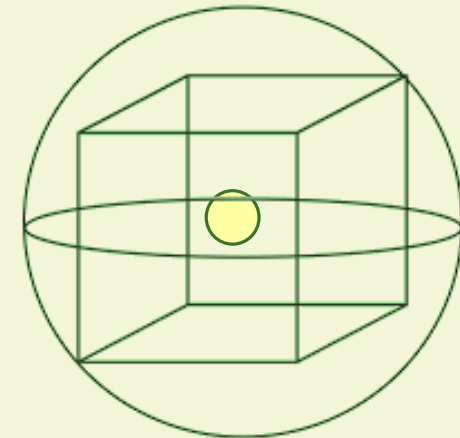
$$|d(x, \sigma)| < \alpha \max_{x, \sigma} |d(x, \sigma)| \times \text{X}$$

12/22

جهت‌های محلی



هیستوگرام گرادیان



● تناظر ویژگی‌های استخراج شده

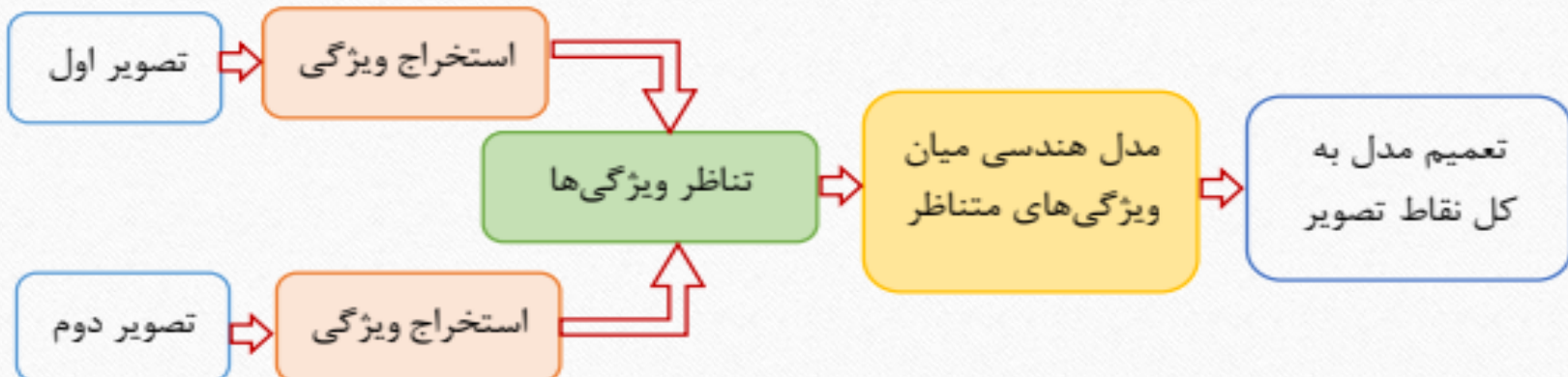
نقطه کلیدی در تصویر اول

$$g(\mathbf{x}, S_2) = \frac{d(\mathbf{x}, \mathbf{y}_1)}{d(\mathbf{x}, \mathbf{y}_2)}$$

اولین عضو نزدیک به \mathbf{x}
دومین عضو نزدیک به \mathbf{x}

مجموعه نقاط کلیدی مربوط به تصویر دوم

13/22



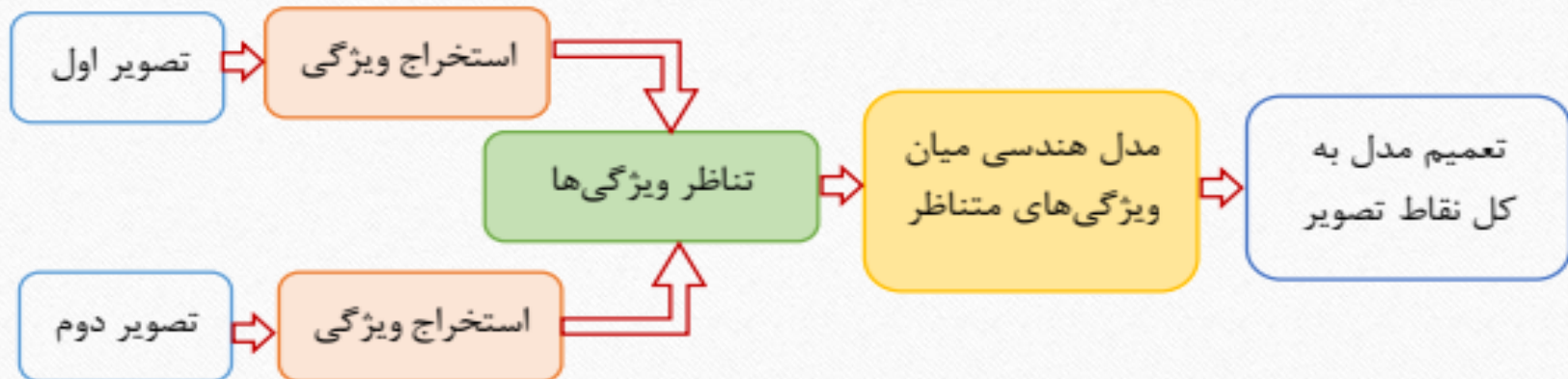
● رویکرد پیشنهادی در مدلسازی هندسی

TSK سیستم فازی

If u_1 is \mathcal{F}_1 and and u_n is \mathcal{F}_n then $v = \varphi(u_1, \dots, u_n)$

If u_1 is \mathcal{F}_1 and and u_n is \mathcal{F}_n then $v = p_0 + p_1 u_1 + \dots + p_n u_n$

14/22



رویکرد پیشنهادی در مدلسازی هندسی

TSK سیستم فازی

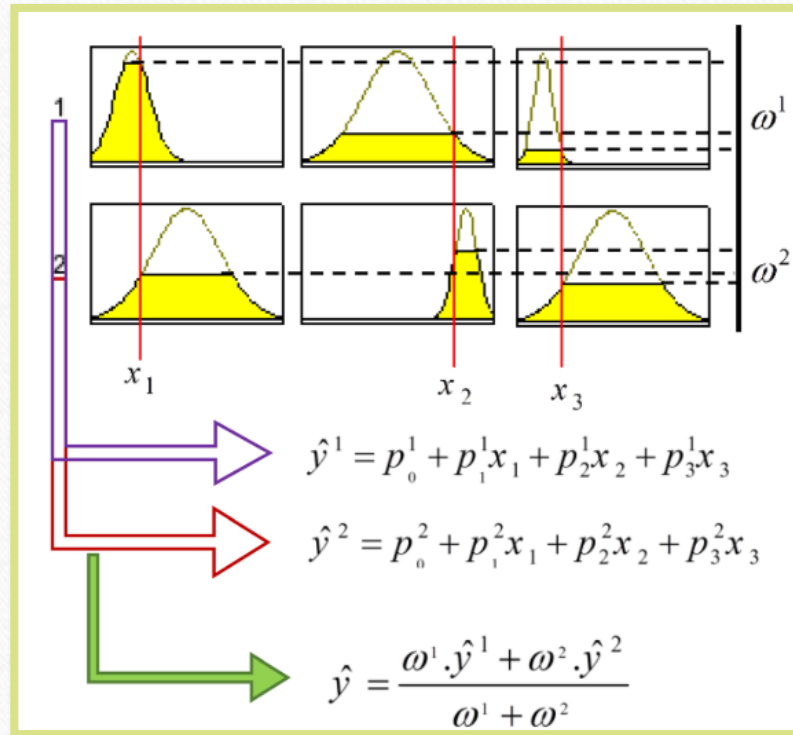
If x_1 is F_1^r and and x_n is F_n^r then $\hat{y}^r = p_0^r + p_1^r x_1 + \dots + p_n^r x_n$

$$\omega^r(\mathbf{x}_m) \triangleq \Lambda_{i \in \{1, \dots, n\}} F_i^r(x_{im}) = \prod_{i \in \{1, \dots, n\}} F_i^r(x_{im})$$

$$\omega^r(\mathbf{x}_m) \triangleq \frac{\omega^r(\mathbf{x}_m)}{\sum_{i=1}^R \omega^i(\mathbf{x}_m)}, \quad \sum_{k=1}^r \omega^k(\mathbf{x}_m) = 1$$

$$\hat{y}(\mathbf{x}) = \frac{\sum_{r=1}^R \omega^r(\mathbf{x}) \cdot \hat{y}^r(\mathbf{x})}{\sum_{r=1}^R \omega^r(\mathbf{x})}$$

15/22



رویکرد پیشنهادی در مدلسازی هندسی

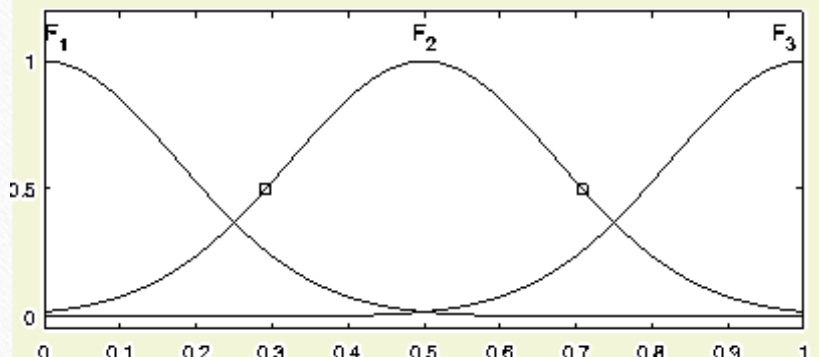
جفت ورودی-خروجی (\mathbf{X}, \mathbf{Y})

طراحی بخش مقدم سیستم فازی

سیستم فازی TSK

طراحی بخش تالی سیستم فازی

تقسیم بندی یکنواخت فضای ورودی



$$F_i^r = \exp \left(- \left(\frac{x_{im} - \chi_i^r}{\sigma_i^r} \right)^2 \right)$$

خوشه‌بندی فضای ورودی

$$\min J_m(\mathbf{u}, \mathbf{v}) = \sum_{k=1}^n \sum_{i=1}^c (u_{ik})^m \cdot (d_{ik})^2$$

FCM

$$d_{ik} = \|x_k - v_i\|^2$$

$$u_{ik}^m = \left[\sum_{j=1}^c \left(\frac{d_{ik}}{d_{jk}} \right)^{\frac{2}{m}-1} \right]^{-1} \quad \text{for } \forall i, k \quad v_i = \frac{\sum_{k=1}^n u_{ik}^m x_k}{\sum_{k=1}^n u_{ik}^m}$$

رویکرد پیشنهادی در مدلسازی هندسی

● سیستم فازی TSK طراحی بخش مقدم سیستم فازی

● طراحی بخش تالی سیستم فازی

$$\|\vec{\mathcal{E}}\|^2 \triangleq \left\| \vec{y} - \hat{\vec{y}} \right\|^2 \quad \hat{y}(\mathbf{x}) = \frac{\sum_{r=1}^R \omega^r(\mathbf{x}) \cdot \hat{y}^r(\mathbf{x})}{\sum_{r=1}^R \omega^r(\mathbf{x})}$$

$$A \triangleq \begin{pmatrix} v^1(\mathbf{x}_1), v^1(\mathbf{x}_1) \cdot x_{11}, \dots, v^1(\mathbf{x}_1) \cdot x_{n1} & \dots & v^R(\mathbf{x}_1), v^R(\mathbf{x}_1) \cdot x_{11}, \dots, v^R(\mathbf{x}_1) \cdot x_{n1} \\ \vdots & & \vdots \\ v^1(\mathbf{x}_m), v^1(\mathbf{x}_m) \cdot x_{1m}, \dots, v^1(\mathbf{x}_m) \cdot x_{nm} & \dots & v^R(\mathbf{x}_m), v^R(\mathbf{x}_m) \cdot x_{1m}, \dots, v^R(\mathbf{x}_m) \cdot x_{nm} \\ \vdots & & \vdots \\ v^1(\mathbf{x}_M), v^1(\mathbf{x}_M) \cdot x_{1M}, \dots, v^1(\mathbf{x}_M) \cdot x_{nM} & \dots & v^R(\mathbf{x}_M), v^R(\mathbf{x}_M) \cdot x_{1M}, \dots, v^R(\mathbf{x}_M) \cdot x_{nM} \end{pmatrix}$$

$$\hat{\vec{y}} = A \cdot \vec{p}$$

$$\vec{p} = \left((A^T A)^{-1} A^T \right) \vec{y}$$

$$\vec{p} = \left(A^T A + \Gamma^T \Gamma \right)^{-1} A^T \vec{y}$$

Tikhonov Regularization

بازنمایی آفین پارامترهای فازی

$$\begin{bmatrix} y_1 \\ y_2 \\ y_3 \end{bmatrix} = \begin{bmatrix} a_{11} & a_{12} & a_{13} & t_1 \\ a_{21} & a_{22} & a_{23} & t_2 \\ a_{31} & a_{32} & a_{33} & t_3 \end{bmatrix} \begin{bmatrix} x_1 \\ x_2 \\ x_3 \\ 1 \end{bmatrix}$$

$$y_i = \frac{\sum_{j=1}^R \omega_i^j \hat{y}_i^j}{\sum_{j=1}^R \omega_i^j} = \sum_{j=1}^R \bar{\omega}_i^j \hat{y}_i^j$$

$$y_i = \bar{\omega}_i^1 \hat{y}_i^1 + \bar{\omega}_i^2 \hat{y}_i^2 + \bar{\omega}_i^3 \hat{y}_i^3$$

$$= \sum_{j=1}^R \bar{\omega}_i^j (p_{i0}^j + p_{i1}^j x_1 + p_{i2}^j x_2 + p_{i3}^j x_3)$$

$$= (\sum_{j=1}^R \bar{\omega}_i^j p_{i1}^j) x_1 + (\sum_{j=1}^R \bar{\omega}_i^j p_{i2}^j) x_2 + (\sum_{j=1}^R \bar{\omega}_i^j p_{i3}^j) x_3 + (\sum_{j=1}^R \bar{\omega}_i^j p_{i0}^j)$$

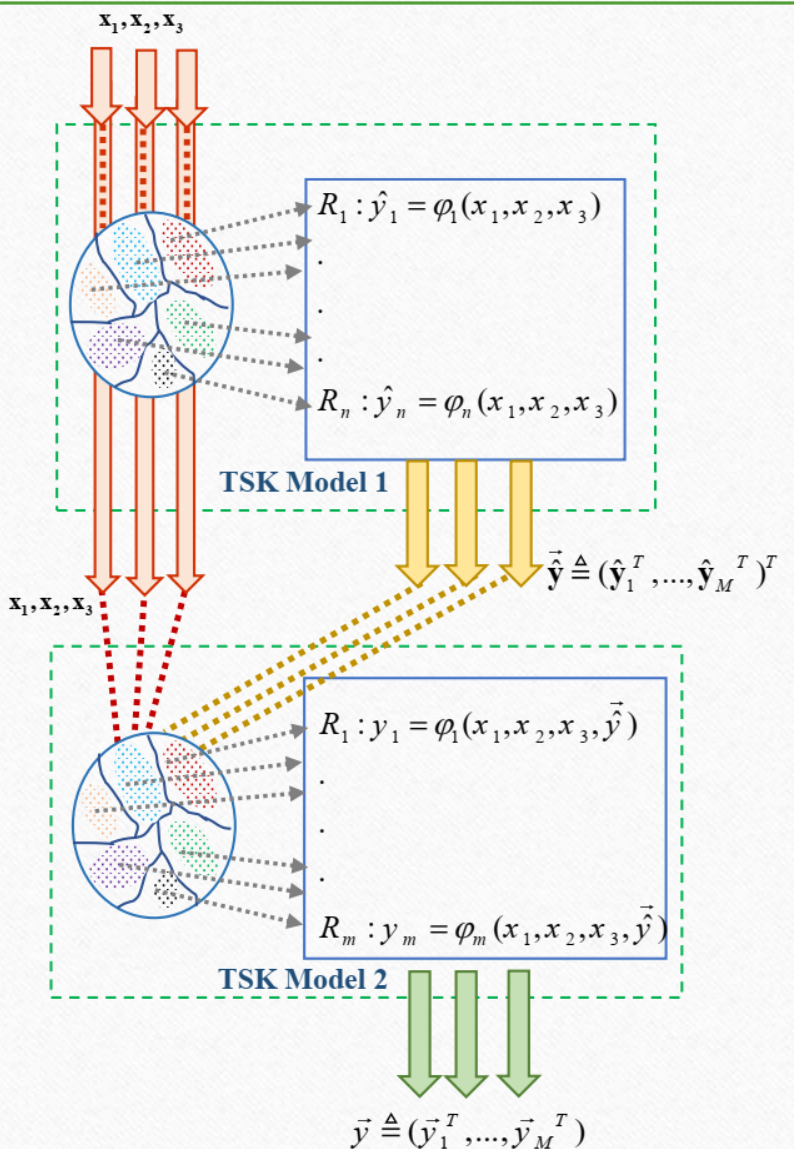
$$\begin{cases} a_{11} = \sum_{j=1}^R \bar{\omega}_1^j p_{11}^j, a_{12} = \sum_{j=1}^R \bar{\omega}_1^j p_{12}^j, a_{13} = \sum_{j=1}^R \bar{\omega}_1^j p_{13}^j, t_1 = \sum_{j=1}^R \bar{\omega}_1^j p_{10}^j \\ a_{21} = \sum_{j=1}^R \bar{\omega}_2^j p_{21}^j, a_{22} = \sum_{j=1}^R \bar{\omega}_2^j p_{22}^j, a_{23} = \sum_{j=1}^R \bar{\omega}_2^j p_{23}^j, t_2 = \sum_{j=1}^R \bar{\omega}_2^j p_{20}^j \\ a_{31} = \sum_{j=1}^R \bar{\omega}_3^j p_{31}^j, a_{32} = \sum_{j=1}^R \bar{\omega}_3^j p_{32}^j, a_{33} = \sum_{j=1}^R \bar{\omega}_3^j p_{33}^j, t_3 = \sum_{j=1}^R \bar{\omega}_3^j p_{30}^j \end{cases}$$

$$M = [a_{11}, a_{12}, a_{13}, t_1, a_{21}, a_{22}, a_{23}, t_2, a_{31}, a_{32}, a_{33}, t_3]$$

سیستم فازی TSK مرتبه اول

تبدیل آفین محلی





رویکرد پیشنهادی در مدلسازی هندسی

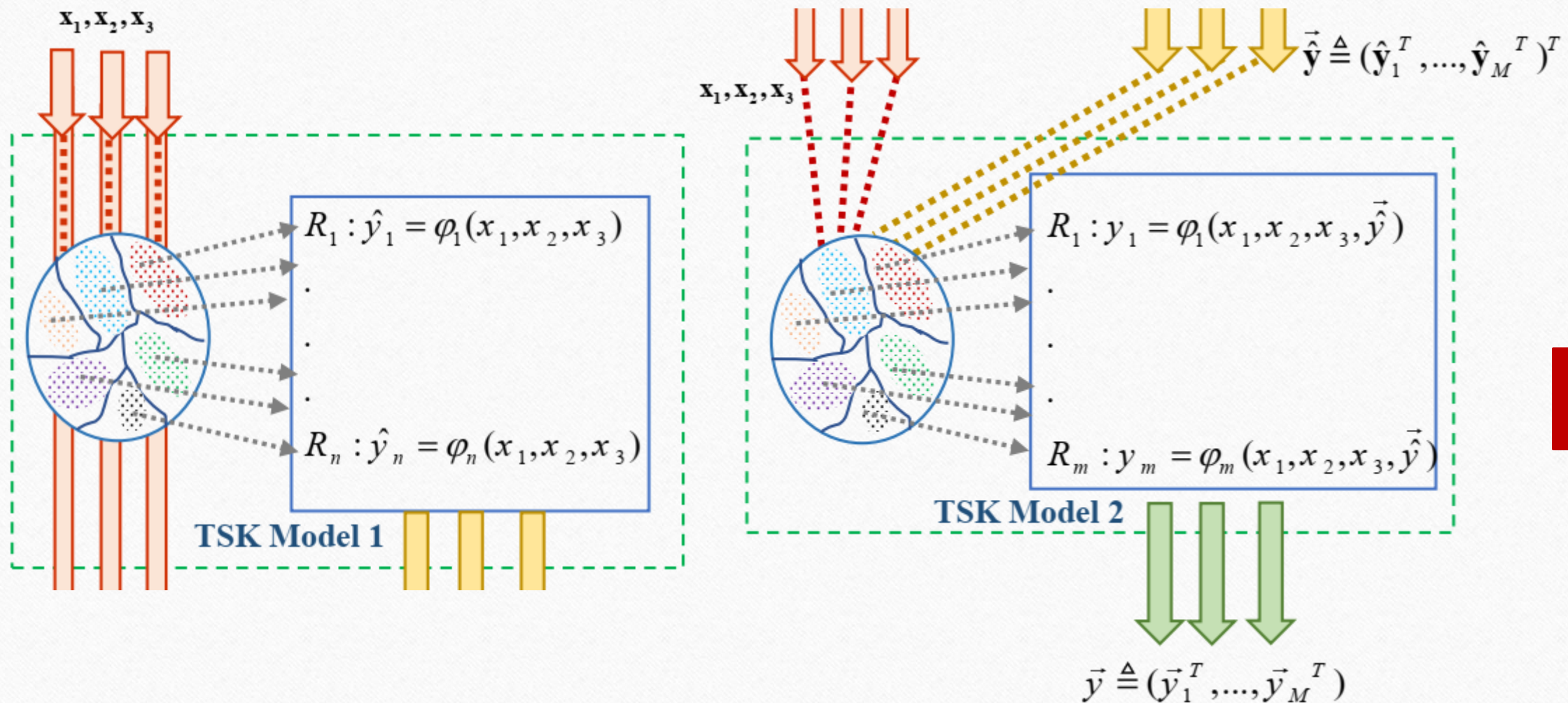
سیستم فازی با ساختار توسعه یافته

طراحی بخش مقدم سیستم فازی

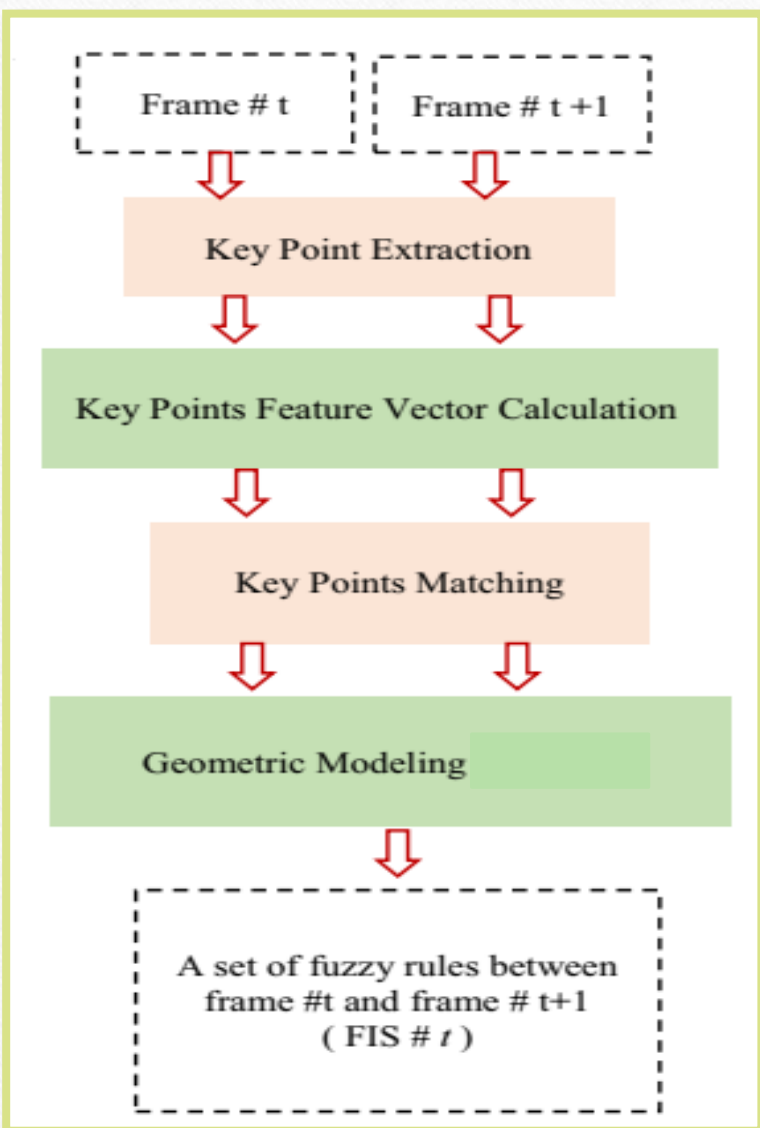
خوشه بندی فضای ورودی

طراحی بخش تالی سیستم فازی

حداقل مربعات با رگولاریزاسیون
تیخونوف



ردیابی حرکت با قواعد فازی



21/22

*FIS t :**Rule #1:*

$$\text{If } \hat{x}_{1k}(t) \text{ is } \mathcal{F}_1^{-1} \text{ & } \hat{x}_{2k}(t) \text{ is } \mathcal{F}_2^{-1} \text{ & } \hat{x}_{3k}(t) \text{ is } \mathcal{F}_3^{-1}$$

$$\text{then } \hat{x}_{1k}(t+1) = p_0^1 + p_1^1 \hat{x}_{1k}(t) + p_2^1 \hat{x}_{2k}(t) + p_3^1 \hat{x}_{3k}(t)$$

⋮

⋮

⋮

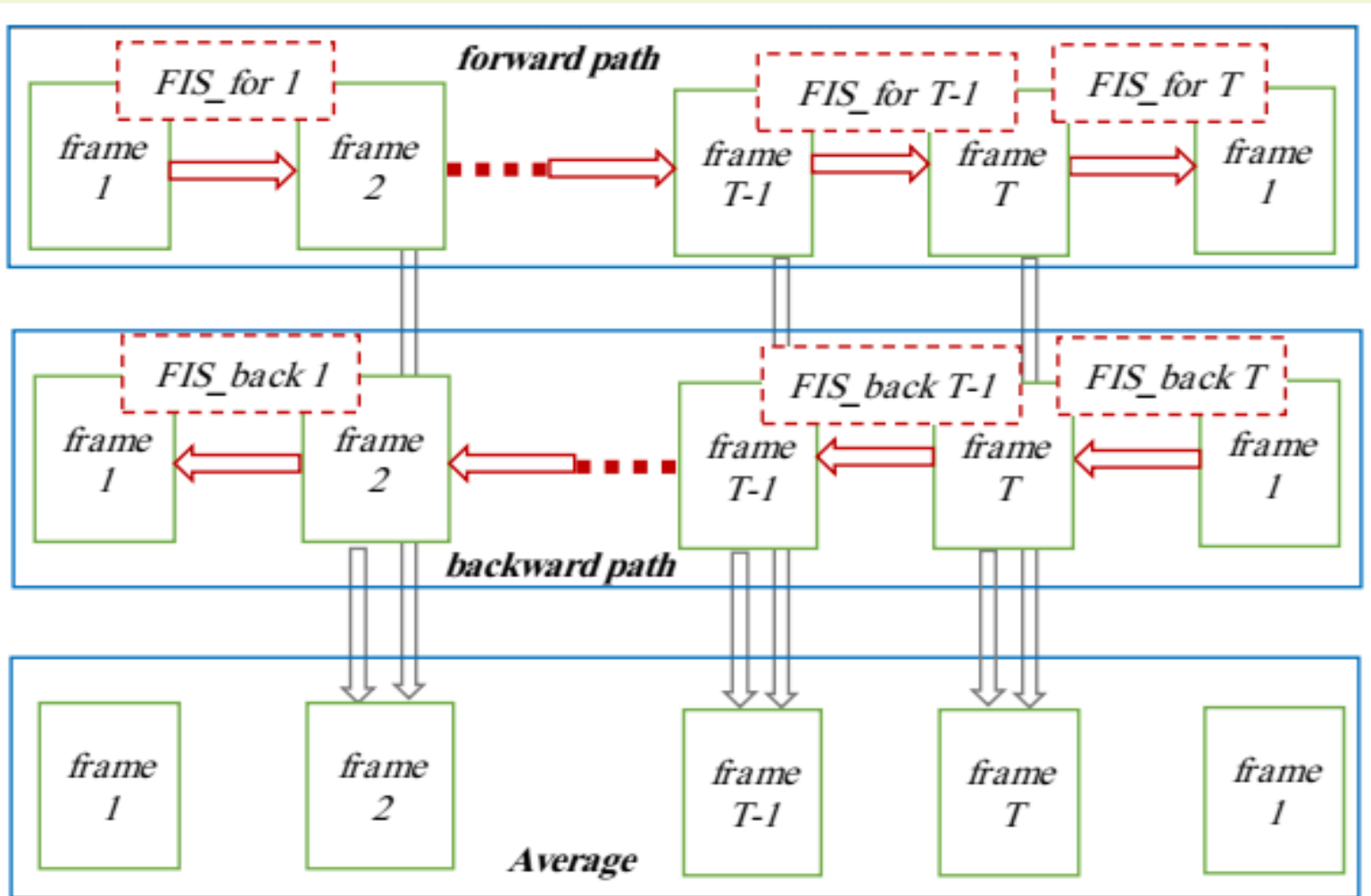
Rule #R:

$$\text{If } \hat{x}_{1k}(t) \text{ is } \mathcal{F}_1^R \text{ & } \hat{x}_{2k}(t) \text{ is } \mathcal{F}_2^R \text{ & } \hat{x}_{3k}(t) \text{ is } \mathcal{F}_3^R$$

$$\text{then } \hat{x}_{1k}(t+1) = p_0^R + p_1^R \hat{x}_{1k}(t) + p_2^R \hat{x}_{2k}(t) + p_3^R \hat{x}_{3k}(t)$$

ردیابی حرکت با قواعد فازی

رویکرد پیشرو-پسرو



Thank
you

